_____ НАДЕЖНОСТЬ, ПРОЧНОСТЬ, ИЗНОСОСТОЙКОСТЬ _____ МАШИН И КОНСТРУКЦИЙ

УДК 539.4:629.4.028.31(045)

МОДЕЛИРОВАНИЕ НАГРУЖЕННОСТИ И РЕСУРСА КОРПУСА АВТОСЦЕПКИ ЧИСЛЕННО-АНАЛИТИЧЕСКИМИ МЕТОДАМИ

© 2020 г. Э. С. Оганьян 1,* , В. С. Коссов 1 , М. Н. Овечников 1 , Г. М. Волохов 1 , А. С. Гасюк 1

¹ Научно-исследовательский и конструкторско-технологический институт подвижного состава, Московская обл., г. Коломна, Россия

*e-mail: vnikti@ptl-kolomna.ru

Поступила в редакцию 25.03.2019 г. Принята к публикации 29.05.2020 г.

В настоящей статье описан подход для оценки ресурса автосцепных устройств по критериям деформационной повреждаемости металлоконструкций. По результатам исследований проведен анализ ресурса автосцепного устройства с определением срока безопасной эксплуатации.

Ключевые слова: подвижной состав, автосцепное устройство, прочность, повреждаемость, мало- и многоцикловая усталость, распределение продольных сил, ресурс

DOI: 10.31857/S0235711920050090

Анализ данных по эксплуатации составов в различных климатических регионах России показывает, что нередки случаи разрушения сцепных устройств вагонов и локомотивов, которые сопровождаются потерей связи локомотива с составом, что приводит к возникновению потенциально опасных ситуаций. Особенно это усугубляется в зимний период эксплуатации при отрицательных температурах.

Для обоснования безопасного и эффективного функционирования подвижного состава и инфраструктуры железнодорожного транспорта на всех стадиях жизненного цикла необходима разработка методов расчета и прогнозирования долговечности элементов конструкций железнодорожной техники при регулярном и нерегулярном циклическом нагружении в упругой и упругопластической областях с учетом силовых и деформационных критериев повреждаемости. Решение этой задачи связано с поиском общих закономерностей, описывающих кинетику накопления повреждаемости в металле в условиях, наиболее близких к эксплуатационным. Учитывая, что эксплуатационное нагружение объекта в основном носит случайный характер, возникают вопросы к моделированию такого нагружения и его использования в анализе повреждаемости.

Постановка проблемы. Рост грузооборота железнодорожного транспорта, повышенные скорости маневровых соударений вагонов, увеличение средней по сети и максимальной массы поездов обуславливают более интенсивную нагруженность автосцепных устройств (АС) продольными силами.

Фактические данные об эксплуатационной нагруженности АС являются основой для расчетов долговечности. Нагруженность характеризует статистика появления растягивающих и сжимающих сил различного уровня при разных режимах работы (маневровой, поездной) в виде блока нагрузок. Этот блок формируется действующими в эксплуатации нагрузками на локомотивы и вагоны через их автосцепные устройства [1, 2]. При этом характер нагружения определяется родом работы и условиями эксплуатации подвижного состава (ПС). В связи с этим рассматриваются два режима нагружения.

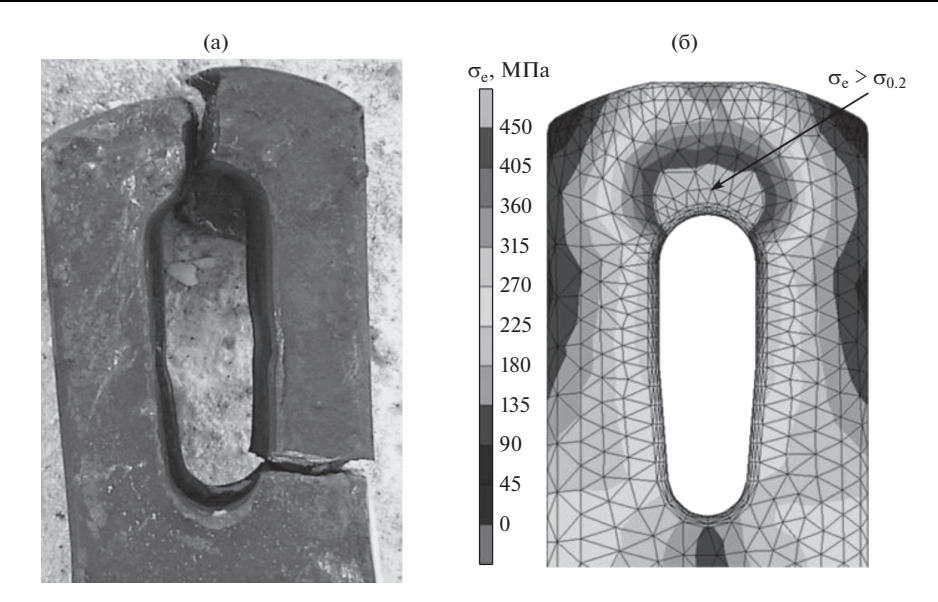


Рис. 1. Перемычка хвостовика автосцепки как критическая зона для оценки ее ресурса: (а) — эксплуатационный вид разрушения хвостовика автосцепки; (б) — конечно-элементная модель хвостовика автосцепки с результатами расчета наиболее напряженной зоны.

- а) При маневровой работе с составами: в процессе их формирования на станциях, в том числе на сортировочных горках, а также при переходных режимах движения поезда (трогание, торможение) и на переломах пути с тяжеловесным составом. Возникающие при этом режиме нагружения продольные силы являются максимальными и достигают предельных нормативных значений (нормативный I режим нагружения [1]). Эти нагрузки (от 1.0–1.5 до 2.0–3.0 МН и выше), имеющие малоцикловый характер, вызывают напряжения, близкие или достигающие предела текучести, с возможным появлением и накоплением упругопластических деформаций в металле элементов корпуса АС, способных привести к его разрушению.
- б) При вождении составов: в процессе движения поезда, сопровождающегося сжатием и растяжением состава, соударением и рывками в поезде, а также при разгоне и торможении поезда. Работа автосцепных устройств в поездных условиях соответствует III нормативному режиму нагружения [1]. Возникающие при этом силы преимущественно знакопеременного циклического характера с большим количеством относительно малых (на уровне 50—300 кН) сил, способных вызвать усталостное повреждение АС, и редких продольных сил, достигающих 700—1000 кН при переходных режимах движения. Напряжения в автосцепных устройствах при этом находятся в упругой области.

Наиболее частым (до 70%) из числа повреждений АС является разрушение хвостовика автосцепки типа СА-3. Из них более 50% приходится на сечения в зоне отверстия под тяговый клин (рис. 1a).

Распределение продольных сил, действующих на вагон через автосцепные устройства, нормировано [1, 2].

Согласно [3], автосцепка должна обеспечивать восприятие продольной силы растяжения не менее 2000 кН и сжатия 2500 кН. При этом наибольшие расчетные напряжения не должны превышать предела текучести материала.

В соответствии с [4] оценка ресурса детали производится по ее базовому элементу, который выбирается из числа критических. Основой выбора служат эксплуатационные данные повреждений, результаты расчетов.

Расчет напряженно-деформированного состояния. По результатам расчетов напряженно-деформированного состояния (НДС) корпуса автосцепки, выполненных в программном комплексе MSC.MARC методом конечных элементов в физически и геометрически нелинейной постановке, обусловленной упругопластическим поведением металла, большими деформациями и контактным взаимодействием деталей, наиболее нагруженной является зона контакта хвостовика с клином по цилиндрической части отверстия (рис. 16).

В этой зоне при растяжении автосцепки силой 2 МН напряжения в отдельных элементах достигают предела текучести материала $\sigma_{0.2}$. Высокие напряжения ($\sim 0.8 \sigma_{0.2}$) получены также в месте перехода хвостовика к голове автосцепки.

Математические модели для оценки ресурса. Критическим элементом (зоной) в рассматриваемом случае выбрана перемычка хвостовика АС. Расчет ресурса для нее выполнялся с учетом возможности появления и накопления остаточных деформаций в материале.

Такое нагружение описывается деформационными критериями малоцикловой усталости в форме уравнений [5—9], характеризующих исчерпание пластических свойств при разрушающем числе циклов нагружения N_p

$$\Delta \varepsilon_p = C N_p^{-m_p},\tag{1}$$

$$\Delta \varepsilon_p = C N_p^{-m_p} + \frac{2\sigma_{-1}}{E}.$$
 (2)

В развитие уравнений (1), (2) на основании анализа эксплуатационной нагруженности и условий накопления повреждений в материале несущих деталей экипажной части локомотива [10] до достижения ими предельного состояния предложена модель

$$\Delta \varepsilon_p = C N_p^{-m_p} + \frac{2\sigma_{-1}}{E} \left[1 - \left(\frac{P_Y}{P_{\text{lim}}} \right)^2 \right] - \alpha \left(\frac{N_H}{N_1} \right), \tag{3}$$

где $\Delta \varepsilon_p$ — размах или односторонняя пластическая относительная деформация в цикле нагружения; α — коэффициент, принятый равным 0.5; m_p — показатель диаграммы упрочнения за пределом упругости материала; $C = -0.5 \ln(1-\psi)$ — эмпирический параметр материала, ψ — относительное сужение в шейке образца при разрыве; σ_{-1} — предел выносливости детали; E — модуль упругости материала; P_Y — нагрузка на пределе текучести материала рассматриваемого элемента детали; P_{lim} — предельная нагрузка для этого же элемента в упругопластической области деформаций; N_H — число малоцикловых квазистатических нагрузок (в данном случае — продольных сил в автосцепке); N_1 — число циклов в единичном (годовом) блоке продольных нагрузок на автосцепку.

Из приведенных моделей накопления деформаций (1)—(3) наиболее полно позволяет рассматривать действующие на АС нагрузки в указанных выше режимах эксплуатации ПС модель (3), поскольку в ней учитываются нагрузки разного вида и уровня в упругой и упругопластической области и в различном их сочетании. В этой обобщенной модели

Таблица 1. Расчетные ресурсы корпуса автосцепки при различных сочетаниях вида и уровня действующих на нее нагрузок

Режим нагружения	σ ₋₁ , ΜΠα	P_{γ} , MH	P _{lim} , MH	α	N_H , цикл	$N_1/10^3$, цикл	$\Delta \varepsilon = 0.0020$		$\Delta \varepsilon = 0.0018$	
							<i>N</i> /10 ³ , цикл	Т, лет	<i>N</i> /10 ³ , цикл	Т, лет
I	40	2.5	4.5	0.5	10	20	410	20.5	535	26.5
	40	2.5	4.5	0.5	6	17.5	450	25.7	600	34.3
III	40	2.5	4.5	0	_	_	570	32.6	780	44.6
	45	2.0	4.5	0	_	_	650	37.1	900	51.4

оценка циклов нагружения до разрушения производится на основе выбора предельной величины остаточной деформации в критическом элементе детали автосцепки. В настоящем исследовании она принималась равной 0.0020 и 0.0018. Результаты выполненных расчетов при некоторых вариантах сочетания вида и величины нагрузок, действующих на АС, представлены в табл. 1. Для заданного годового блока нагрузок [1, 2] расчетный ресурс корпуса автосцепки по отмеченным на рис. 16 зонам может достигать в зависимости от сочетания нагрузок 30—50 лет, что согласуется с данными эксплуатации.

Выводы. 1. Оценка ресурса АС выполнена в численно-аналитической форме на основе конечно-элементного анализа НДС детали с использованием деформационных моделей разрушения. Существенным при этом является анализ НДС исследуемой конструкции и выбор ее критических зон. Они оказываются опасными, если образующиеся локальные зоны высоких уровней напряжений получают развитие и приводят к предельному состоянию. 2. В расчетах использованы статистические распределения продольных сил, действующих на вагон через АС, принятые в [1, 2]. Блоки этих сил в диапазоне 300-3600 кН охватывают максимальные из возможных в эксплуатации, в том числе при маневровых и горочных операциях (І нормативный режим), а также в поездных условиях (III режим). 3. Расчеты сил и ресурса АС, выполненные для указанных режимов нагружения, показали, что ресурс АС по ее наиболее нагруженным элементам (хвостовик в зоне отверстия под клин и место перехода от хвостовика к голове) заметно снижается при расчете с учетом сил, отвечающих по величине І режиму, ориентировочно до 20-30 лет (вместо 40-50 лет от сил по III режиму нагружения). 4. Разработанная для расчета ресурса деталей ПС деформационная модель разрушения (3) позволяет в широком диапазоне варьировать параметры нагружения в зависимости от долей нагрузок I и III режимов в спектре.

Задействованные в оценке теоретические, программные, экспериментальные методы могут существенно различаться. Это зависит от поставленной задачи, полноты исходных данных объекта исследования, эксплуатационных и других факторов. В частности, для повышения достоверности получаемых результатов расчетное распределение нагрузок должно быть максимально приближено к фактическому в эксплуатации.

КОНФЛИКТ ИНТЕРЕСОВ

Авторы заявляют об отсутствии конфликта интересов.

СПИСОК ЛИТЕРАТУРЫ

- 1. ГОСТ 33211-2014. Вагоны грузовые. Требования к прочности и динамическим качествам. М.: Стандартинформ, 2016. 54 с.
- 2. ГОСТ 33788-2016. Вагоны грузовые и пассажирские. Методы испытаний на прочность и динамические качества. М.: Стандартинформ, 2016. 41 с.
- 3. ГОСТ 33434-2015. Устройство сцепное и автосцепное железнодорожного подвижного состава. Технические требования и правила приемки. М.: Стандартинформ, 2016. 15 с.
- 4. ГОСТ Р 57445-2017. Железнодорожные технические средства. Общие требования к методам определения ресурса. М.: Стандартинформ, 2017. 26 с.
- 5. Coffin L.F. A note on low cycle fatigue laws // Journal of Materials. 1971. V. 6. N. 2. P. 388.
- 6. *Manson S.S.* Inversion of the strain and strain-stress relationships for use in the metal fatigue analyses // Fatigue of engineering materials and structures. 1979. V. 1. N. 1. P. 37.
- 7. *Пестриков В.М.* Механика разрушения / Под ред. В.М. Пестрикова, Е.М. Морозова. СПб. 2012. 552 с.
- 8. Партон В.З. Механика разрушения: От теории к практике. М.: ЛКИ. 2016. 240 с.
- 9. Проблемы прочности, техногенной безопасности и конструкционного материаловедения / Под ред. Н.А. Махутова, Ю.Г. Матвиенко, А.Н. Романова. М.: Ленанд, 2018. 720 с.
- 10. Oganyan E.S., Volokhov G.M., Gasyuk A.S., Fazliakhmetov D.M. Calculated experimental evaluation of the operating life of basic locomotive parts for ensuring their safe operation // Journal of Machinery Manufacture and Reliability. 2018. V. 47. Iss. (2). P. 155.